взаимодействии волн, с помощью этого эффекта можно обнаружить пузырьки газа

и определять их размеры.

Кроме описанных выше экспериментов по распространению звука в жидкости с пузырьками газа, которые получались искусственным путем, были проведены исследования особенностей работы параметрического излучателя в режимах, сопровождающихся газовой кавитацией. Обычно интенсивная кавитация наблюдалась, когда излучатель работал в свежей водопроводной воде с повышенным содержанием растворенного газа [3]. Средняя частота волн накачки была 320 кГц, разностная частота — 5 кГц. Амилитуда взаимодействующих волн около 10⁵ Па. Излучатель работал в импульсном двухполосном режиме. Переходя от режима с большой скважностью (длительность науз много больше длительности импульса) к режиму с меньшей скважностью, можно было вызвать в области взаимодействия газовую кавитацию. Пузырьки газа увеличивали нелинейный параметр этой области среды, что, в конечном счете, приводило к увеличению амплитуды ВРЧ на оси излучателя. На фиг. 2 приведена осциллограмма, показывающая поведение амплитуды ВРЧ при различных режимах работы излучателя. Рост амплитуды ВРЧ связан с началом газовой кавитации и появлением пузырьков в области взаимодействия, уменьшение прекращением кавитации (при увеличении скважности импульсов волн накачек) и всплытием пузырьков.

Подбирая режим работы параметрического излучателя, можно вызывать в области взаимодействия газовую кавитацию, о наличии и интенсивности которой можно судить по поведению амплитуды ВРЧ. В опытах после возникновения газовой кавитации амплитуда ВРЧ обычно возрастала в несколько раз. Так как интенсивность газовой кавитации зависит от концентрации растворенного газа, то использование параметрического излучателя в режиме с изменяемой скважностью дает воз-

можность судить об этой концентрации.

ЛИТЕРАТУРА

1. Островский Л. А., Сутин А. М. Нелинейные акустические методы диагностики газовых пузырьков в жидкости // Ультразвуковая диагностика. Горький: ИПФ АН СССР, 1983. С. 139—150.

2. Новиков Б. К., Руденко О. В., Тимошенко В. И. Нелинейная гидроакустика. Л.:

Судостроение. 1981. С. 82.

3. Владимиров Ю. М., Дружинин Г. А., Михайлов А. А., Токман А. С. Самоусиление параметрического взаимодействия акустических волн в воде с растворенным газом. Л.: Вести. ЛГУ. 1984. № 10. Вып. 2. С. 113—114.

Ленинградский государственный университет им. А. А. Жданова, физический факультет Поступило в редакцию 25.XI.1986

УДК 534.232

ТЕРМИЧЕСКОЕ ВОЗБУЖДЕНИЕ ЗВУКА В ВОЛОКОННОМ СВЕТОВОДЕ

Жамалетдинова Е.В., Козлов А.И., Плесский В.П.

Возбуждение акустических волн в волоконных световодах представляет интерес в связи с возможностями воздействия на оптическое излучение (акустооптика) и создания различного рода датчиков [1-3]. В настоящее время, однако, эта задача не имеет удовлетворительного решения, в особенности при высоких частотах звука.

В этом плане может представить интерес термическая генерация звука, широко используемая для возбуждения объемных воли в жидкостях [4] и поверхностных акустических воли в твердых телах [5]. Об использовании фотоакустического метода

при исследовании волоконных световодов сообщалось в работе [6].

Рассмотрим однородный упругий стержень (волокно), участок которого длиной $2L\gg d$ (d — диаметр волокна) подвергается нестационарному нагреву. Пусть W(z, t) (в Br/м) — линейная плотность источников тепла. Нагрев считаем однородным по сечению волокна, рассматриваем одномерный случай в пренебрежении теплопроводностью.

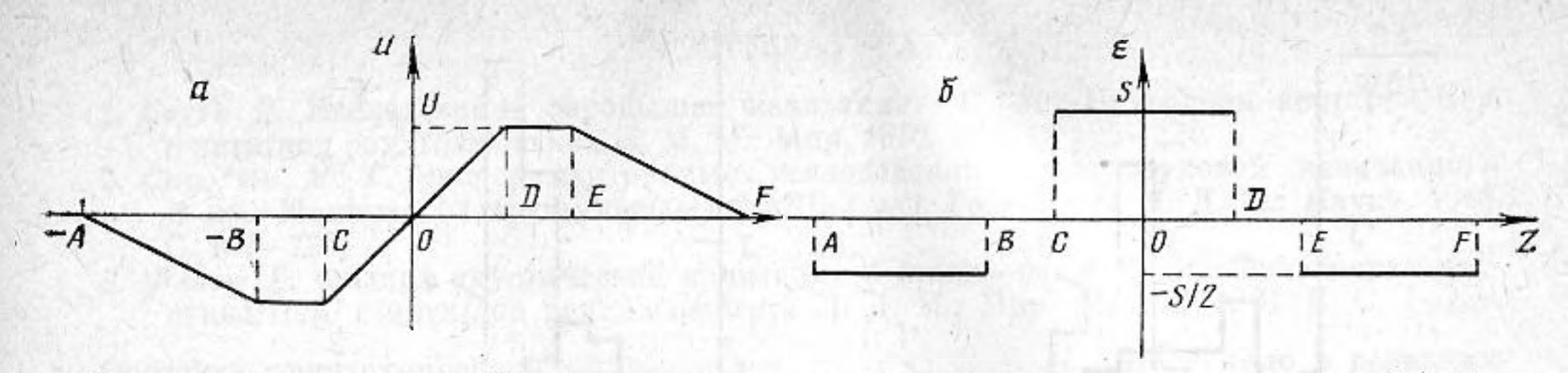
Тогда механические смещения u в волокие (вдоль оси OZ его) и распределение:

температуры описываются уравнениями:

$$\frac{1}{v^2} \frac{\partial^2 u}{\partial t^2} = \frac{\partial^2 u}{\partial z^2} - \alpha \frac{\partial T}{\partial z} \tag{1}$$

$$S\rho c \frac{\partial T}{\partial t} = W(z, t) \tag{2}$$

где v, ρ , c, α — соответственно скорость продольных волн в стержне, плотность,



Распределение смещений в световоде: a — при импульсном нагреве участка $|z| \le L$, b — распределение напряжений в тот же момент времени t. Координаты точек на графиках обозначены: A = -(3L + tv), B = -(L + tv), C = -L, D = L, E = L + tv, F = 3L + tv, $U = \alpha L \Delta T$, $S = \alpha \Delta T$

удельная теплоемкость и линейный коэффициент теплового расширения в материале

волокна, S - площадь поперечного сечения волокна.

Амплитуда u_0 возбуждаемой волны определяется функцией W(z, t), описывающей нестационарное выделение тепла в волокие. Физическая природа источников тепла может быть различной. Рассмотрим два частных случая. При периодическом нагреве ограниченного участка волокна $W(z, t) = 0.5w_0(1 + \cos \omega t) \theta (L - |z|)$ ($\theta(x) - \phi$ ункция Хэвисайда). В этом случае периодическая составляющая температуры имеет амплитуду $T_0 = W_0/2\rho cS\omega$, а величина смещения в стержне дается формулой:

$$u_0 = \alpha L T_0 \frac{\sin kL}{kL} \tag{3}$$

При импульсном нагреве такого же по длине участка световода температура на всем участке скачком повышается на величину $\Delta T = E_0/(2L\rho cS)$, где E_0 — энергия импульса. При этом формируются две области сжатия (фигура), бегущие от нагретого участка волокна в противоположных направлениях со скоростью v. Деформация $\varepsilon = \partial u/\partial z$ в этих областях равна $-0.5\alpha\Delta T$. При энергии импульса $E_0 = 10^{-3}$ Дж и длине нагреваемой области 2L = 0.2 мм в кварцевом световоде диаметром 100 мкм скачок температуры составляет $\Delta T \sim 300$ К, а деформация $\varepsilon \sim 10^{-4}$, т. е. весьма значительна.

Бесконтактность термооптического возбуждения звука, а также возможность в широких пределах менять параметры источников тепла (например, используя модулированное лазерное излучение, поглощаемое участком световода) могут оказаться полезными при исследовании волоконно-оптических световодов.

Авторы благодарны С. Н. Антонову за обсуждение работы.

ЛИТЕРАТУРА

1. Davies D. E. N., Kingsley S. A. Method of Phase-Modulating Signals in Optical Fibres: Application to Optical Telemetry Systems // Electronics Lett., 1974. V. 10. № 2. P. 21-22.

2. Howard D., Hall T. Interaction of High-Frequency Sound with Fibres-Guided Cohe-

rent Light // Electronics Lett., 1978. V. 14. № 22. P. 620-621.

3. Новиков В. П., Новиков М. А. Оптико-акустическая спектроскопия элементов волоконной и интегральной оптики // Письма в ЖТФ. 1982. Т. 8. В. 6. С. 372—376. 4. Лямшев Л. М. Оптико-акустические источники звука // УФН. 1981. Т. 135. № 4.

C. 637-667.

 Карабутов А. А. Лазерное возбуждение ПАВ: новое направление в оптико-акустической спектроскопии твердого тела // УФН. 1985. Т. 147. № 3. С. 605—620.

6. Burt J. A., Ebeling K. J., Efthimiades D. Observation of the Optoacoustic Effect in an Optical Fibre-Optics Communications. 1980. V. 32. № 1. P. 59-62.

Институт радиотехники и электроники Академии наук СССР Поступило в редакцию 13.VIII.1986

УДК 532.528

ВЛИЯНИЕ ГИДРОДИНАМИЧЕСКИХ ВОЗМУЩЕНИЙ НА КАВИТАЦИОННУЮ ПРОЧНОСТЬ ВОДЫ

Макаров В. К., Супрун С. Г., Чулкова Н. В.

Согласно работам [1, 2] разброс значений порога акустической кавитации жидкости в малой реакционной камере, последовательно наполняемой из резервуара большого объема, характеризует распределение по прочности [1], или по размерам [2] зародышей кавитации, взвешенных в объеме жидкости, заполняющей большой резервуар.